

УДК 519.95

## ОЦЕНКИ ОТНОСИТЕЛЬНОГО ВРЕМЕНИ ЗАДЕРЖКИ СИГНАЛОВ, ОСНОВАННЫЕ НА АНАЛИЗЕ ИХ ФОРМЫ

**А. И. Чуличков, С. Н. Куличков<sup>\*</sup>), Д. С. Демин**  
*(кафедра компьютерных методов физики)*

E-mail: ach@cmp.phys.msu.ru

**На основе сравнения по форме [1] фрагментов сигналов неизвестного источника, регистрируемых пространственно разнесеными датчиками в неизвестных и различных для разных датчиков условиях, получены оценки их относительной временной задержки. Оценки минимизируют максимальную погрешность определения временной задержки сигналов датчиков при гарантированной надежности оценивания [2, 3]. Форма сигнала определена как инвариант класса его преобразований, моделирующих возможные изменения условий его регистрации.**

### Введение

В настоящей работе решена задача оценивания относительного времени задержки сигналов, распространяющихся от некоторого неизвестного источника до пространственно разнесенных датчиков. Условия регистрации сигнала в разных точках пространства неодинаковы, в результате измеряемые сигналы различаются не только времененным сдвигом, но и нелинейнымиискажениями, сохраняющими лишь общую форму сигнала. Кроме того, измерения сопровождаются аддитивным шумом неизвестной дисперсии.

### Форма сигнала. Сравнение сигналов по форме

Сигналы рассматриваются как векторы евклидова пространства  $R^n$ , заданные своими координатами. Значение  $i$ -й координаты вектора  $f \in R^n$  интерпретируется как амплитуда сигнала в  $i$ -й момент времени  $t_i = t_0 + i\delta$ ,  $i = 1, \dots, n$ , и шаг по времени много меньше времени характерных изменений сигнала.

Будем считать, что изменение условий регистрации приводит к преобразованию сигнала, сохраняющему упорядоченность его координат. Такие преобразования даются монотонно возрастающими функциями координат: если  $g_i = F(f_i)$  для каждого  $i = 1, \dots, n$ , а  $F(\cdot)$  — монотонно возрастающая функция, то неравенства, выполненные для любой пары координат вектора  $f \in R^n$ , выполняются и для той же пары координат вектора  $g \in R^n$ . При этом, в частности, сохраняются интервалы монотонности и локальные экстремумы зависимостей координат от их номера. Форма сигнала  $f \in R^n$  определяется как замыкание  $\overline{V}_f$  в  $R^n$  множества векторов, полученного из  $f$  всеми монотонно возрастающими

преобразованиями его координат:

$$\overline{V}_f = \{g = F \cdot f, F \in \overline{\mathbf{F}}\},$$

где  $g = F \cdot f$  означает, что координаты  $g_1, \dots, g_n$  вектора  $g$  подчинены равенствам  $g_i = F(f_i)$ ,  $i = 1, \dots, n$ , а  $\overline{\mathbf{F}}$  — класс монотонно неубывающих функций. Множество  $\overline{V}_f$  является выпуклым замкнутым конусом в  $R^n$  и конструктивно может быть задано оператором  $P_f$  проецирования на это множество [1]. Оператор  $P_f$  определяет проекцию  $P_f g$  сигнала  $g \in R^n$  на  $\overline{V}_f$  как решение задачи наилучшего приближения  $g$  элементами из  $\overline{V}_f$ :

$$\|g - P_f g\|^2 = \inf\{|g - h|^2 \mid h \in \overline{V}_f\}. \quad (1)$$

Замыкание множества  $\overline{V}_f$  приводит к замене монотонно возрастающих преобразований координат на монотонно неубывающие, при этом может случиться так, что неравенство  $f_i > f_j$  после преобразования  $F(\cdot)$  координат вектора  $f$  превратится в равенство  $F(f_i) = F(f_j)$ , чего не случилось бы при строго монотонных преобразованиях. Преобразования  $F \in \overline{\mathbf{F}}$ , таким образом, могут «упростить» форму сигнала  $f$ . Следуя [1], будем говорить, что сигнал  $g$  не сложнее по форме, чем  $f$ , если  $g = F \cdot f$  для некоторого  $F \in \overline{\mathbf{F}}$ .

### Постановка задачи

Рассмотрим сигналы, регистрируемые двумя датчиками. Пусть измерения проводятся в моменты времени  $t_k$ ,  $k = -M, -M+1, \dots, n+M$ , с шагом  $\delta$ , много большим временного сдвига. Будем считать, что результаты измерения  $\xi_1$  и  $\xi_2$  этих сигналов первым и вторым датчиками соответственно можно записать в виде

$$\begin{aligned} \xi_{1,i} &= f_i, & \xi_{2,i} &= F(f_{i+m_0}) + \nu_i, \\ i &= -M, -M+1, \dots, n+M, \end{aligned} \quad (2)$$

<sup>\*</sup>) Институт физики атмосферы РАН.

где  $|m_0| \leq M$  — неизвестный временной сдвиг второго сигнала относительно первого, а  $F(\cdot)$  — некоторая неизвестная монотонно неубывающая функция, описывающая отличие условий регистрации сигнала вторым датчиком от эталонных, принятых для первого. Моделирующие погрешность измерений случайные величины  $\nu_i$ ,  $i = -M, -M+1, \dots, n+M$ , некоррелированы и контролируются нормальным распределением  $N(0, \sigma^2)$  с неизвестной дисперсией  $\sigma^2 > 0$ . По результатам измерений (2) требуется оценить значение параметра сдвига  $m_0 \in \{-M, \dots, M\}$ .

Для решения этой задачи выберем фрагменты  $f = (f_1, \dots, f_n) \in R^n$  и  $\xi_m = (\xi_{2,m+1}, \dots, \xi_{2,m+n}) \in R^n$  и сравним по форме математическое ожидание  $g_m \in R^n$  второго фрагмента с первым для каждого  $m \in \{-M, \dots, M\}$ . Выберем множество тех значений  $m$ , для которых достаточно вероятно включение  $g_m \in \bar{V}_f \equiv \{F \cdot f, F \in \bar{\mathbf{F}}\}$ , и будем использовать его в качестве множества, оценивающего значение  $m_0$  в (2).

### Близость сигналов по форме

Фиксируем некоторое значение  $m \in \{-M, \dots, M\}$  и сравним вектор  $\xi_m$  по форме с  $f$ . В отсутствие погрешности измерений (2) форма  $\xi_m$  не сложнее, чем форма  $f$ , если

$$\xi_m = F \cdot f \quad (3)$$

при некотором  $F \in \bar{\mathbf{F}}$ , что эквивалентно равенству  $P_f \xi_m = \xi_m$ . При наличии погрешности измерения (2) равенство (3) может нарушаться даже при истинном значении сдвига  $m = m_0$ . Естественно считать, что чем больше квадрат расстояния  $\|\xi_m - P_f \xi_m\|^2$  от  $\xi_m$  до  $\bar{V}_f$ , тем меньше сходство по форме сигнала  $\xi_m$  с  $f$ .

Однако распределение статистики  $\|\xi_m - P_f \xi_m\|^2$  зависит от неизвестной дисперсии  $\sigma^2$  шума  $\nu$  в (2) и поэтому не может служить для количественной характеристики сходства по форме сигнала  $\xi_m$  с  $f$ . Для этой цели лучше подходит статистика [1]

$$\tau(\xi_m) = \frac{\|\xi_m - P_f \xi_m\|^2}{\|P_f \xi_m - P_0 \xi_m\|^2}, \quad (4)$$

где  $P_0$  — проектор на множество  $\bar{V}_0 = \{\mu \in R^n : \mu_i = c, i = 1, \dots, n, c \in (-\infty, \infty)\}$  сигналов, все координаты которых равны одной и той же константе. Распределение статистики (4) в меньшей степени зависит от неизвестных параметров распределения случайного вектора  $\xi_m$ , в частности не изменяется при умножении  $\xi_m$  на любое число, отличное от нуля, и при сложении  $\xi_m$  с любым вектором  $\mu \in \bar{V}_0$ , координаты которого  $\mu_i = \text{const}$ ,  $i = 1, \dots, n$ . Знаменатель дроби (4) дает отличие сигнала  $P_f \xi_m$  по форме от сигнала, равного константе (т.е. от вектора, все координаты которого равны одной и той же величине). Сигнал  $P_0 \xi_m$ , равный константе, хотя

и принадлежит  $\bar{V}_f$ , но не несет никакой информации о форме сигнала  $f$ , в то время как разность  $\|P_f \xi_m - P_0 \xi_m\|$  дает «существенную часть» сигнала  $\xi_m$ , сравнимую по форме с  $f$ , и дробь (4) тем меньше, чем меньше «часть» сигнала  $\xi_m - P_f \xi_m$ , отличающаяся  $\xi_m$  по форме от  $f$ , по сравнению с «существенной частью»  $P_f \xi_m - P_0 \xi_m$  сигнала  $\xi_m$ , сравнимой по форме с  $f$ . Иными словами, значение дроби (4) тем больше, чем ближе сигнал  $\xi_m$  к константе по сравнению с близостью  $\xi_m$  к  $\bar{V}_f$ . Таким образом, формально речь идет о проверке гипотезы

$$H: \xi_m \sim N(a, \sigma^2 I), \quad a \in \bar{V}_f \setminus \bar{V}_0 \quad (5)$$

при альтернативе

$$K: \xi_m \sim N(a, \sigma^2 I), \quad a \in \bar{V}_0. \quad (6)$$

Морфологический критерий проверки гипотезы (5) при альтернативе (6) определяется критическим множеством [1]

$$S = \{z \in R^n : \tau(z) \geq \delta\}. \quad (7)$$

Если  $\xi_m \notin S$ , то гипотеза (5) принимается и можно считать, что сигнал  $\xi_m$  достаточно близок по форме к сигналу  $f$ . Степень согласия гипотезы (5) с результатом наблюдения  $\xi_m$ , следя [1, 2], охарактеризуем надежностью гипотезы, равной минимальному уровню критерия, при котором по наблюдению  $\xi_m$  (5) отвергается в пользу (6). Надежность в данном случае равна

$$\alpha_H(\xi_m) = \\ = \sup \left\{ \int_{\tau(x) \geq \tau(\xi_m)} p_{N(\mu, \sigma^2 I)}(x) dx \mid \mu \in \bar{V}_f \setminus \bar{V}_0, \sigma^2 > 0 \right\}, \quad (8)$$

где  $p_{N(\mu, \sigma^2 I)}(\cdot)$  — плотность нормального распределения. Точная верхняя грань в (8) равна  $\alpha_H(\xi_m) = \int_{\tau(x) \geq \tau(\xi_m)} p_{N(\mu_0, I)}(x) dx$  и с вероятностью единица одна и та же для любого  $\mu_0 \in \bar{V}_0$ , в частности для  $\mu_0 = 0$ . Она может быть вычислена методом Монте-Карло путем разыгрывания реализаций вектора  $\zeta \sim N(\mu_0, I)$  с математическим ожиданием  $\mu_{0,i} = 0$ ,  $i = 1, \dots, n$ , и подсчета частоты реализаций, для которых  $\tau(\zeta) \geq \tau(\xi_m)$ .

Заметим, что если  $\bar{V}_f$  —  $k$ -мерное подпространство  $R^n$ , то случайная величина  $\frac{n-k}{\tau(\zeta)(k-1)}$  при  $\zeta \sim N(\mu, \sigma^2 I)$ ,  $\mu \in \bar{V}_0$ , контролируется распределением Снедекора-Фишера с  $k-1$ ,  $n-k$  степенями свободы, а область  $S$  в (7) определяет равномерно наиболее мощный критерий проверки гипотезы (5) при альтернативе (6) в классе критериев, инвариантных к преобразованиям, определяемым симметрией задачи проверки гипотез (5), (6) [4, 5].

## Множество, оценивающее значение $m$ временного сдвига

Вернемся к оцениванию значения  $m$  временного сдвига сигнала  $\xi_2$  относительно  $\xi_1$  и построим множество  $I_p(\xi_1, \xi_2)$ , оценивающее параметр  $m \in \{-M, \dots, M\}$  по следующему правилу: будем считать, что оценивающее множество  $I_p(\xi_1, \xi_2)$  состоит из тех и только тех значений  $m \in \{-M, \dots, M\}$ , для которых надежность гипотезы (5) при альтернативе (6) не меньше  $1 - p$ :

$$\alpha(\xi_m) = P(\tau(\zeta) \geq \tau(\xi_m)) \geq 1 - p, \quad (9)$$

что влечет неравенство  $\tau(\xi_m) \leq \delta(\varepsilon)$ . Чем меньше  $\delta(\varepsilon)$ , тем меньше (по включению) оценивающее множество  $I_p(\xi_1, \xi_2)$  и тем точнее локализуется оцениваемое значение  $m$ . В силу определения случайное множество  $I_p(\xi_1, \xi_2)$  накрывает истинное значение параметра  $m \in \{-M, \dots, M\}$  с вероятностью не меньше  $p$ .

Заметим, что эта оценка вероятности накрытия истинного значения параметра  $m$  случайным оценивающим множеством  $I_p(\xi_1, \xi_2)$  получена в условиях неизвестной дисперсии измерительной погрешности; она вычисляется как точная нижняя грань по всем возможным частным распределениям гипотезы и равна пределу надежности частной гипотезы при стремлении математического ожидания вектора  $\xi_m$  к константе. Поскольку на практике математическое ожидание  $\xi$  неизвестно, то можно лишь гарантировать, что оценивающее множество  $I_p(\xi_1, \xi_2)$  накрывает истинное значение сдвига  $m$  с вероятностью не меньшей  $p$  (хотя в реальности эта вероятность может быть значительно больше).

## Минимаксная оценка временного сдвига гарантированной надежности

Для множества  $I_p(\xi_1, \xi_2)$  построим минимаксную оценку

$$\sup_{i \in I_p(\xi_1, \xi_2)} \|i - \tilde{i}\| = \inf_{i' \in \{-M, \dots, M\}} \sup_{i \in I_p(\xi_1, \xi_2)} |i - i'|. \quad (10)$$

Оценка  $\tilde{i}$  с гарантированной вероятностью  $p$  минимизирует максимально возможную погрешность оценивания параметра сдвига. Решением задачи (10) является середина отрезка минимальной длины, содержащего множество  $I_p(\xi_1, \xi_2)$ , половина его длины является погрешностью оценки  $\tilde{i}$  [1]. Ясно, что чем выше вероятность  $p$ , тем большее погрешность оценивания.

## Результаты оценивания сдвига

В эксперименте регистрировались выходные сигналы трех датчиков акустического давления, расположенных в вершинах треугольника. Вычислялись оценки времени задержки. Предложенный метод использовался для оценки времени задержки выходных сигналов второго и третьего датчиков

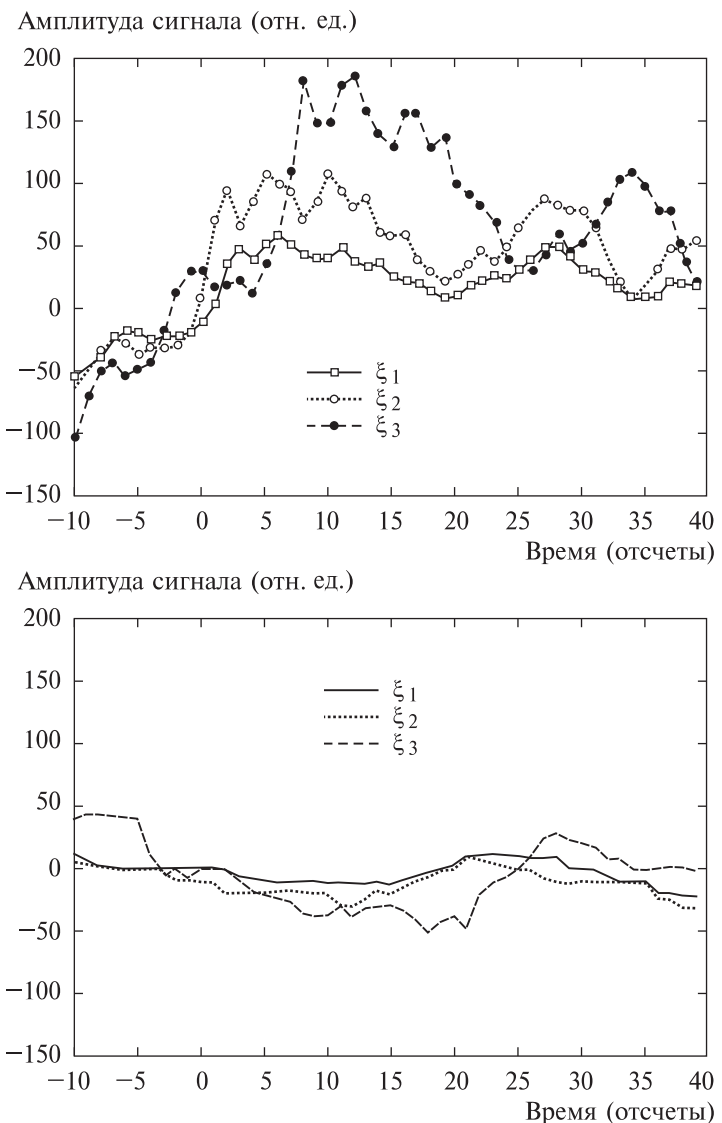


Рис. 1. Фрагменты сигналов, зарегистрированных тремя датчиками: *а* — фрагменты имеют ярко выраженные особенности формы; *б* — фрагменты сигналов малой амплитуды, особенности формы выражены слабо

относительно выходного сигнала первого датчика. На рис. 1 изображены два фрагмента сигналов, в первом случае (рис. 1, *a*) фрагмент имеет ярко выраженные особенности формы, однако участки монотонности не идентичны на всех трех сигналах, что можно объяснить наличием шумов; сигналы второго фрагмента (рис. 1, *б*) меньше по амплитуде по сравнению с сигналами первого фрагмента, что может свидетельствовать о меньшей амплитуде полезного сигнала и, следовательно, о большей его близости к константе.

На рис. 2 приведены графики надежности  $\alpha_H(\xi_m)$  в зависимости от сдвига  $m \in \{-M, \dots, M\}$  сигналов второго и третьего датчиков относительно сигнала первого датчика, а также показаны множества, оценивающие соответствующие временные сдвиги:

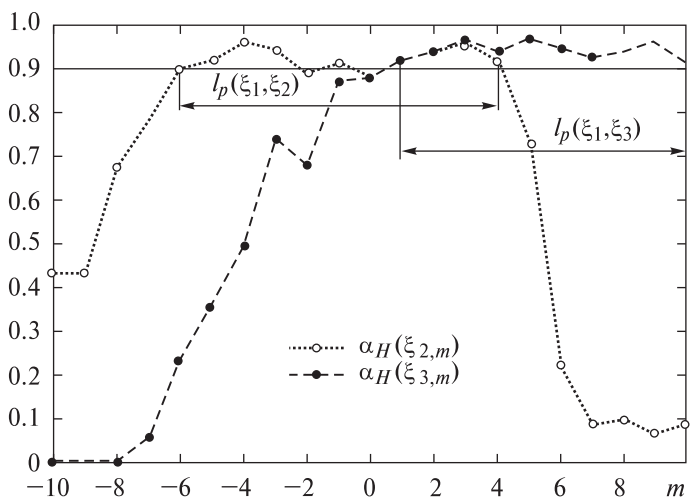
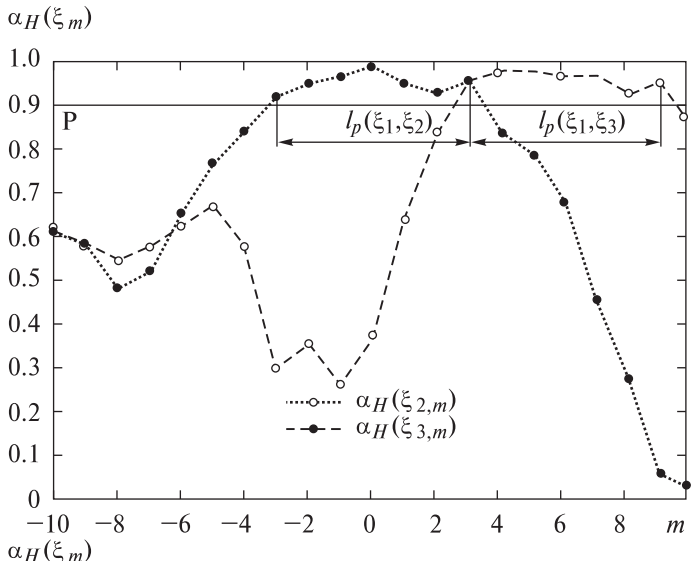


Рис. 2. Надежность  $\alpha_H(\xi_m)$  в зависимости от сдвига  $m \in \{-10, \dots, 10\}$  сигналов второго и третьего датчиков относительно сигнала первого датчика: а — для фрагментов сигналов, приведенных на рис. 1, а; б — для фрагментов, приведенных на рис. 1, б.  $I_p(\xi_1, \xi_2)$  и  $I_p(\xi_1, \xi_3)$  — интервальные оценки уровня не менее  $p = 0.1$  временного сдвига второго сигнала относительно первого и третьего сигнала относительно первого соответственно

эти множества содержат те значения параметра, при которых надежность  $\alpha_H(\xi_m)$  не меньше 0.9, а значит, в силу (9) содержат истинное значение  $m \in \{-M, \dots, M\}$  с вероятностью, гарантированно не меньшей 0.1.

Видно, что для фрагментов, изображенных на рис. 1, а, оценка параметра сдвига с вероятностью не ниже 0.1 обладает существенно меньшей погрешностью, чем оценка для фрагментов, изображенных на рис. 1, б.

На рис. 3 приведены графики коэффициента корреляции  $r(m) = \frac{|(f, \xi_m)|}{\|f\| \|\xi_m\|}$ ,  $m \in \{-M, \dots, M\}$ , для ситуации, когда вектор  $f \in R^n$  выбран из сигнала первого датчика, а  $\xi_m \in R^n$  — сдвинутый на  $m$  отсчетов участок сигнала второго (сплошная кри-

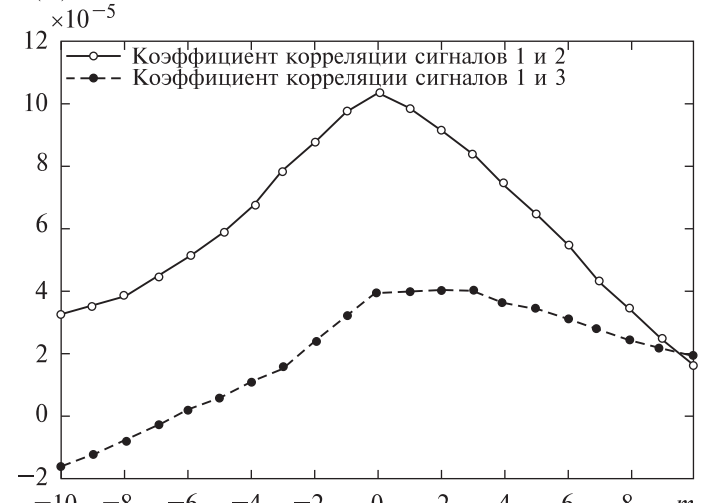
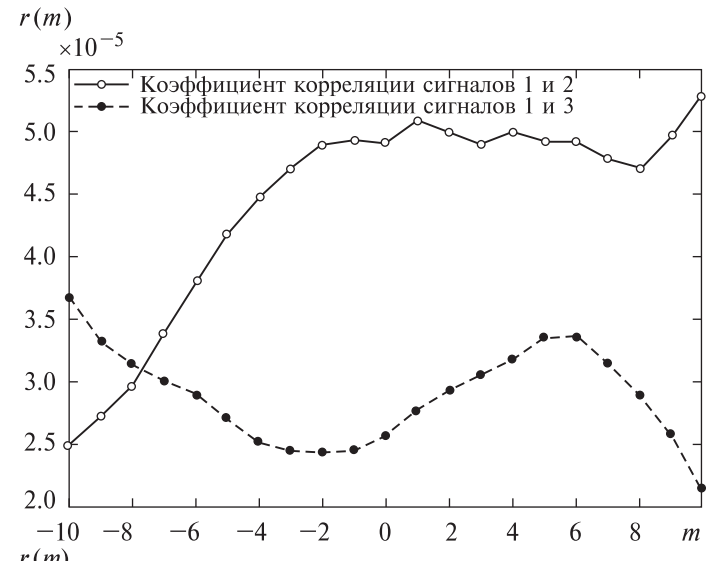


Рис. 3. Зависимость коэффициентов корреляции  $r_m$  сигнала первого датчика и сдвинутого на  $m$  отсчетов второго (сплошная линия) и третьего (пунктирная линия) датчиков,  $m \in \{-10, \dots, 10\}$ : а — для фрагментов сигналов, приведенных на рис. 1, а; б — для фрагментов, приведенных на рис. 1, б

вяя) и третьего (пунктир) датчиков, изображенных на рис. 1, а, б соответственно. Если бы сигнал  $\xi_m \neq 0$  можно было получить из  $f \neq 0$  линейным преобразованием его координат, то в силу неравенства Коши  $r(m) = 1$ , в противном случае  $r(m) < 1$ . Малое значение  $r(m)$ ,  $m \in \{-M, \dots, M\}$ , свидетельствует о малых корреляциях сигналов, а широкий максимум коэффициента корреляции — о невозможности оценки сдвига на основе анализа линейной зависимости сравниваемых сигналов.

В заключение заметим, что широко распространенный метод максимального правдоподобия в данном случае приводит к оценке параметра сдвига из условия  $\hat{m} = \arg \min_m \|P_f \xi_m - \xi_m\|^2$ , недостатки которого при неизвестной дисперсии погрешности измерения (2) обсуждены выше.

Работа выполнена при финансовой поддержке РФФИ (гранты 05-01-00615, 05-05-64973).

### **Литература**

1. Пытьев Ю.П. // Математические методы исследования природных ресурсов Земли из космоса: Сб. М., 1984.
2. Пытьев Ю.П. Методы математического моделирования измерительно-вычислительных систем. М., 2004.
3. Чуличков А.И. Основы теории измерительно-вычислительных систем. Стохастические линейные измерительно-вычислительные системы. Тамбов: Изд-во Тамбовского гос. тех. ун-та, 2000.
4. Чуличков А.И., Морозова И.В. // Интеллектуальные системы. 2005. № 1–4. С. 321.
5. Леман Э. Проверка статистических гипотез. М., 1979.

Поступила в редакцию  
27.12.06